

## GPSによる地殻変動監視観測\*

### Results of continuous GPS observations

海上保安庁  
Japan Coast Guard

伊豆諸島海域における GPS を利用した地殻変動監視観測

#### 1. 観測、解析状況

海上保安庁では、伊豆大島、真鶴、横須賀駿潮所、南伊豆、三宅島駿潮所、神津島駿潮所及び八丈島駿潮所に設置している各観測点の GPS データを解析して、地殻変動監視観測を行っている。解析には精密基線解析ソフトウェア Bernese Ver.5.0 を使用し、隣接する観測点間の基線を解析した。

#### 2. 解析結果

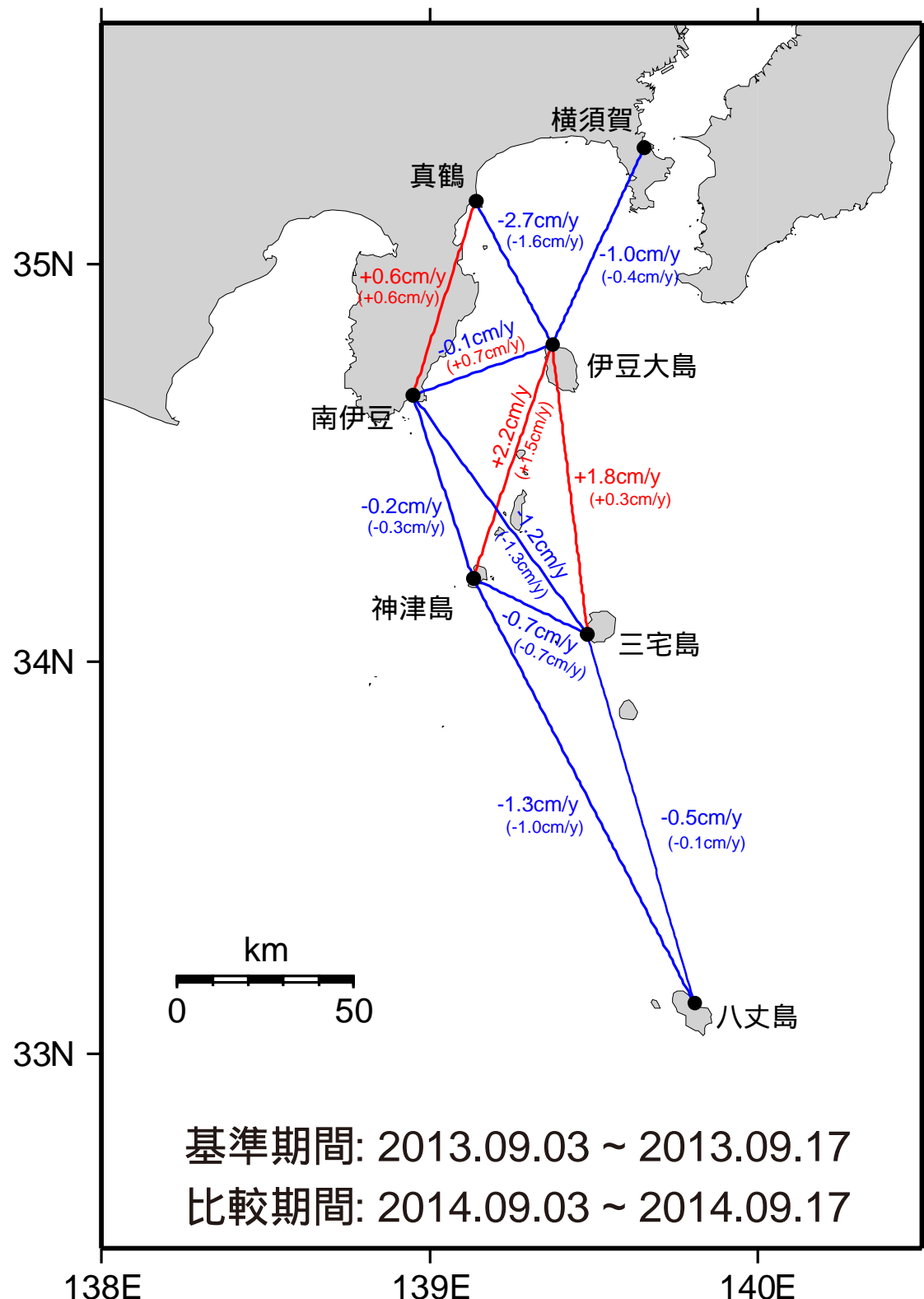
第1図に、各測点間の一年間の基線長変化を示す。伊豆諸島海域全体の移動の傾向については、大きな変化は見られないが、伊豆大島局を含む基線には 2014 年 7 月 28 日に同島近海で発生した地震 (M4.4) とともに水平変位の影響が含まれている。

第2~7図に、IGS最終暦と24時間データを用いて求めた2011年10月1日~2014年9月30日の隣接する観測点間の基線変化を示した。伊豆大島局を含む基線について7月28日の地震とともに西北西 0.8cm の水平変位が見られる。

第8図に、IGS最終暦および24時間データを用いて求めた各観測点の下里水路観測所に対する年間移動速度を示す。伊豆大島局以外の局については、特に大きな変化は見られない。

---

\* 2014年12月11日受付



第1図 伊豆諸島海域のGPS測点及び基線

(括弧内は前回報告値)

基準期間: 2013.04.18 ~ 2013.04.30

比較期間: 2014.04.18 ~ 2014.04.30

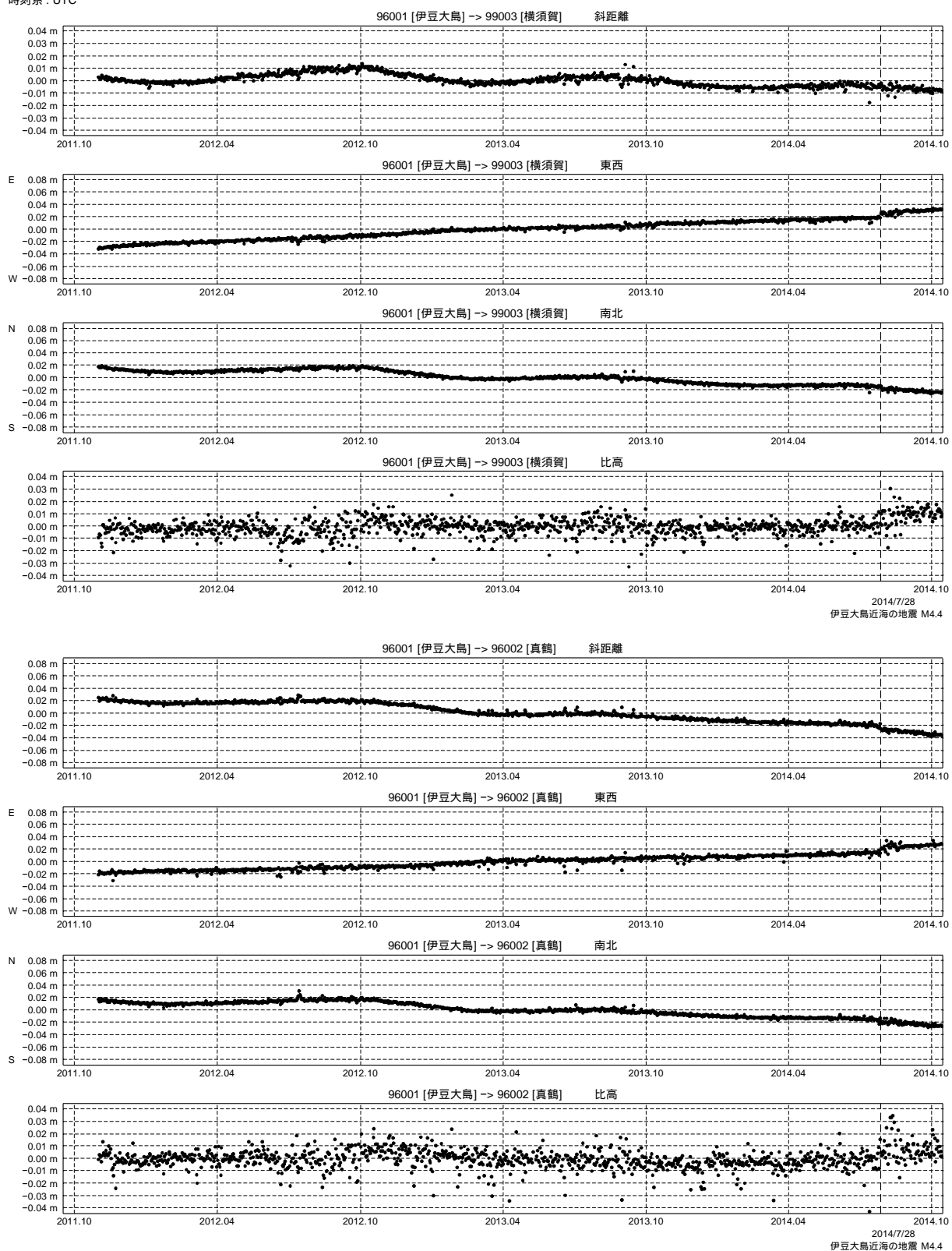
Fig.1 Locations of the GPS stations and baselines in the Izu Islands.

(Parenthesized values are previously reported)

# 火山噴火予知連絡会会報 第119号

期間: 2011年10月1日 ~ 2014年9月30日  
 座標系: WGS-84  
 時刻系: UTC

## 基線変化グラフ



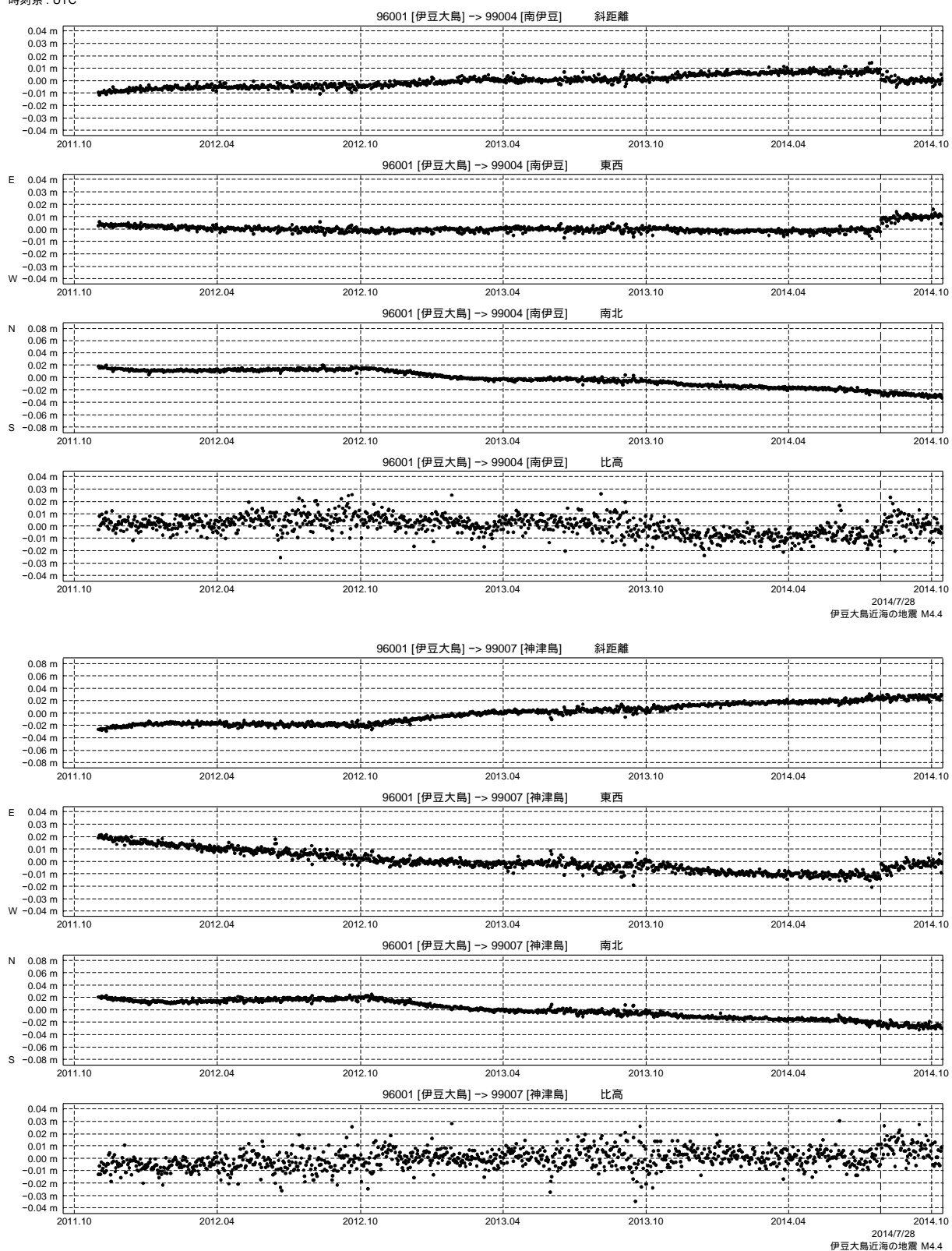
: Bernese [IGS最終版] (2011年10月1日 ~ 2014年9月30日)

第2図 伊豆大島基点での横須賀および真鶴のGPS連続観測結果 (2011/10/1~2014/9/30)

Fig.2 Results of continuous GPS measurements for the baselines of Izu O-Shima – Yokosuka and Izu O-Shima – Manazuru from October 1, 2011 to September 30, 2014.

期間: 2011年10月1日 ~ 2014年9月30日  
 座標系: WGS-84  
 時刻系: UTC

基線変化グラフ



: Bernese [IGS最終版] (2011年10月1日 ~ 2014年9月30日)

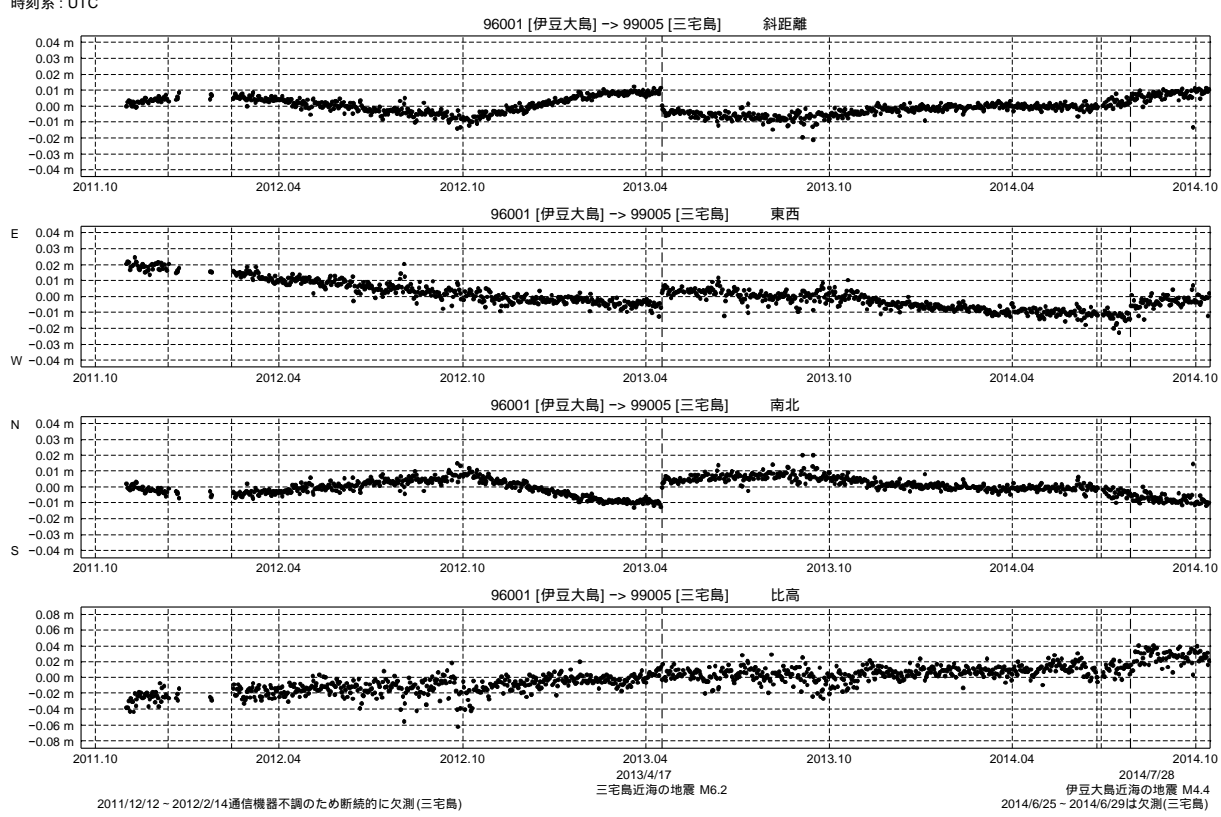
第3図 伊豆大島基点での南伊豆および神津島のGPS連続観測結果 (2011/10/1~2014/9/30)

Fig.3 Results of continuous GPS measurements for the baselines of Izu O-Shima – Minami Izu and Izu O-Shima – Kozu Shima from October 1, 2011 to September 30, 2014.

# 火山噴火予知連絡会会報 第119号

期間: 2011年10月1日 ~ 2014年9月30日  
 座標系: WGS-84  
 時刻系: UTC

## 基線変化グラフ



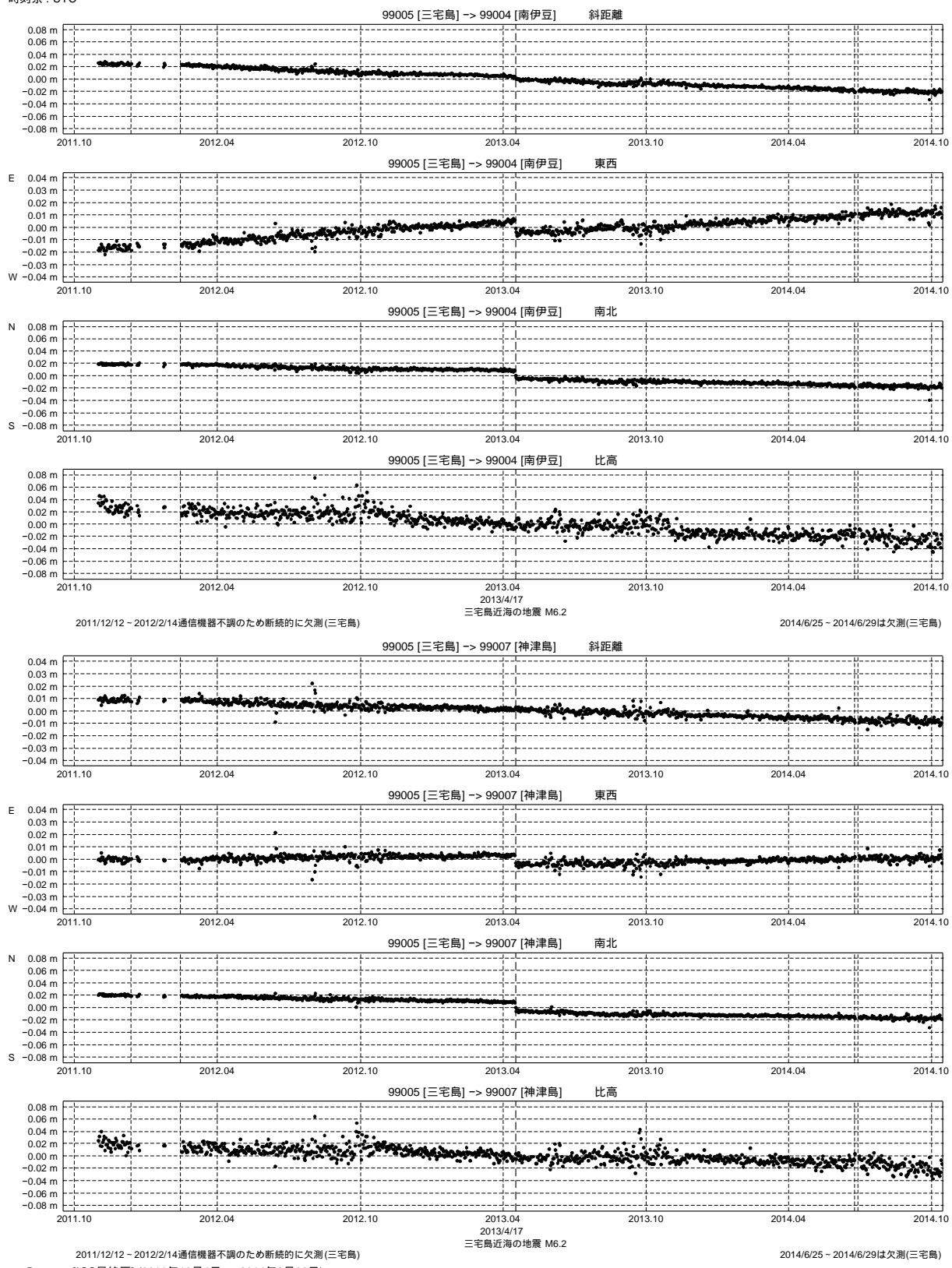
第4図 伊豆大島基点での三宅島のGPS連続観測結果 (2011/10/1~2014/9/30)

Fig.4 Results of continuous GPS measurements for the baseline of Izu O-Shima – Miyake Shima from October 1, 2011 to September 30, 2014.

# 火山噴火予知連絡会会報 第119号

期間: 2011年10月1日 ~ 2014年9月30日  
 座標系: WGS-84  
 時刻系: UTC

## 基線変化グラフ

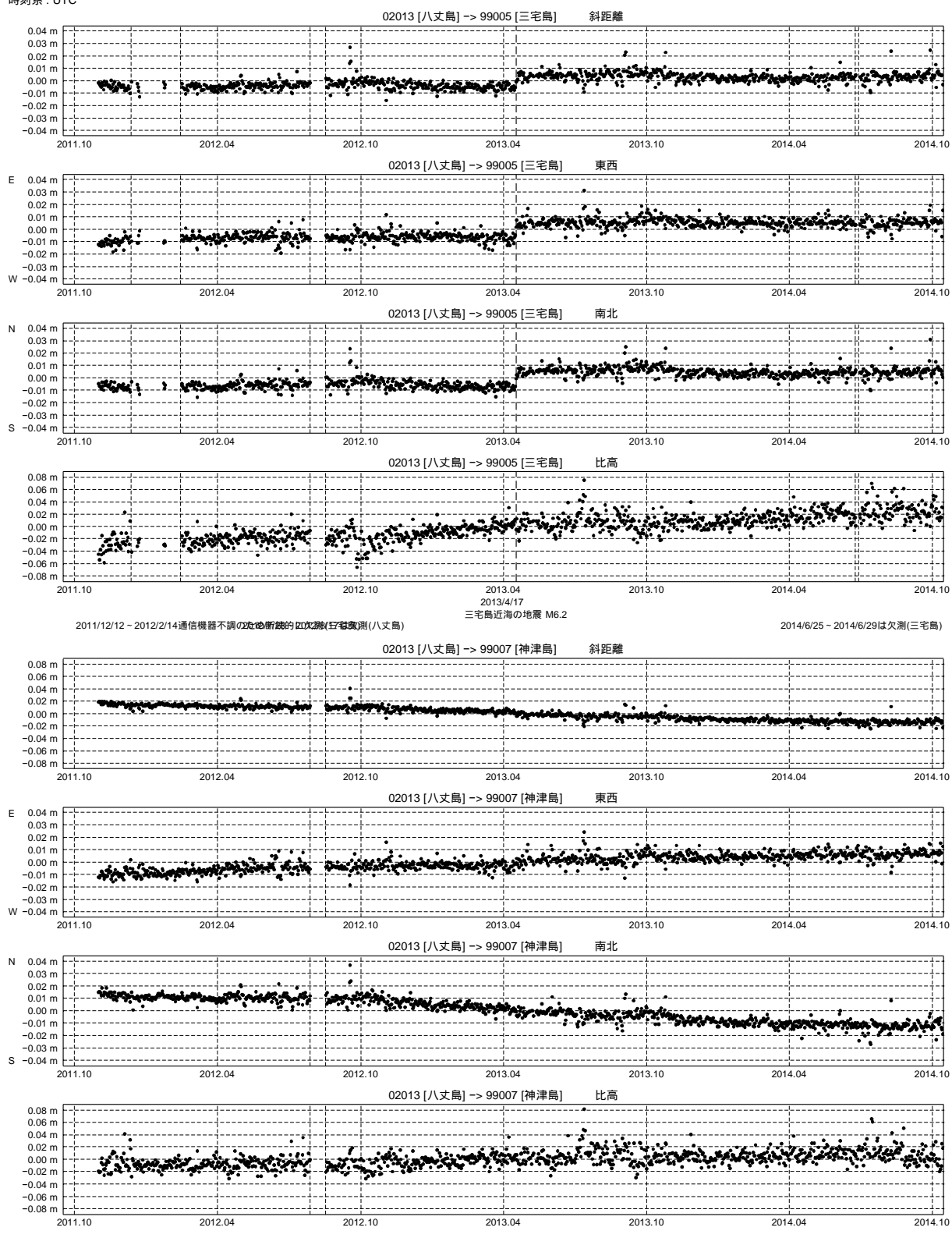


第5図 三宅島基点での南伊豆および神津島のGPS連続観測結果 (2011/10/1~2014/9/30)

Fig.5 Results of continuous GPS measurements for the baselines of Miyake Shima – Minami Izu and Miyake Shima – Kozu Shima from October 1, 2011 to September 30, 2014.

期間: 2011年10月1日 ~ 2014年9月30日  
 座標系: WGS-84  
 時刻系: UTC

基線変化グラフ



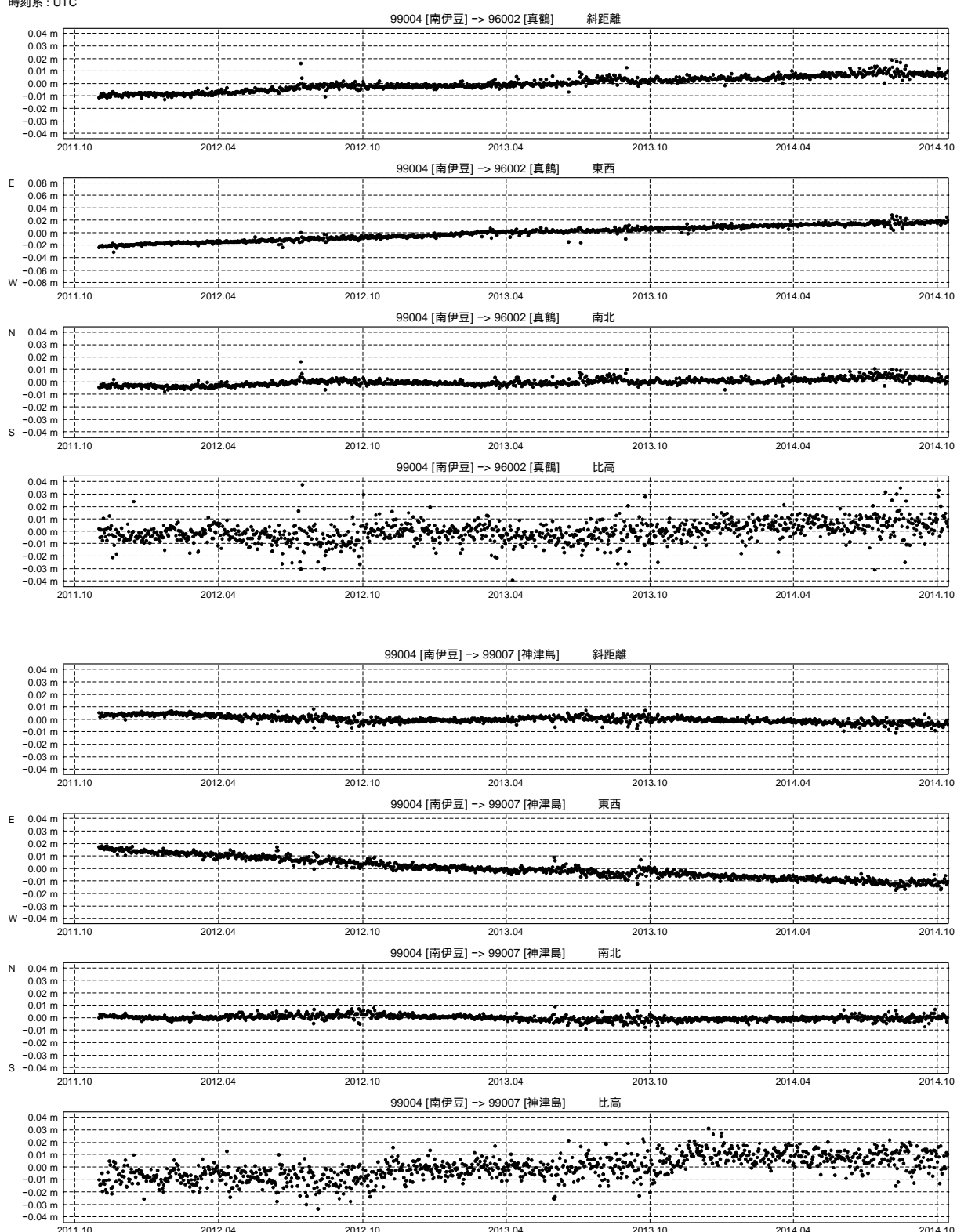
2012/7/28 ~ 2012/8/17は欠測(八丈島)  
 : Bernese [IGS最終値] (2011年10月1日 ~ 2014年9月30日)

第6図 八丈島基点での三宅島および神津島のGPS連続観測結果 (2011/10/1 ~ 2014/9/30)

Fig.6 Results of continuous GPS measurements for the baselines of Hachijo Shima – Miyake Shima and Hachijo Shima – Kozu Shima from October 1, 2011 to September 30, 2014.

期間: 2011年10月1日 ~ 2014年9月30日  
 座標系: WGS-84  
 時刻系: UTC

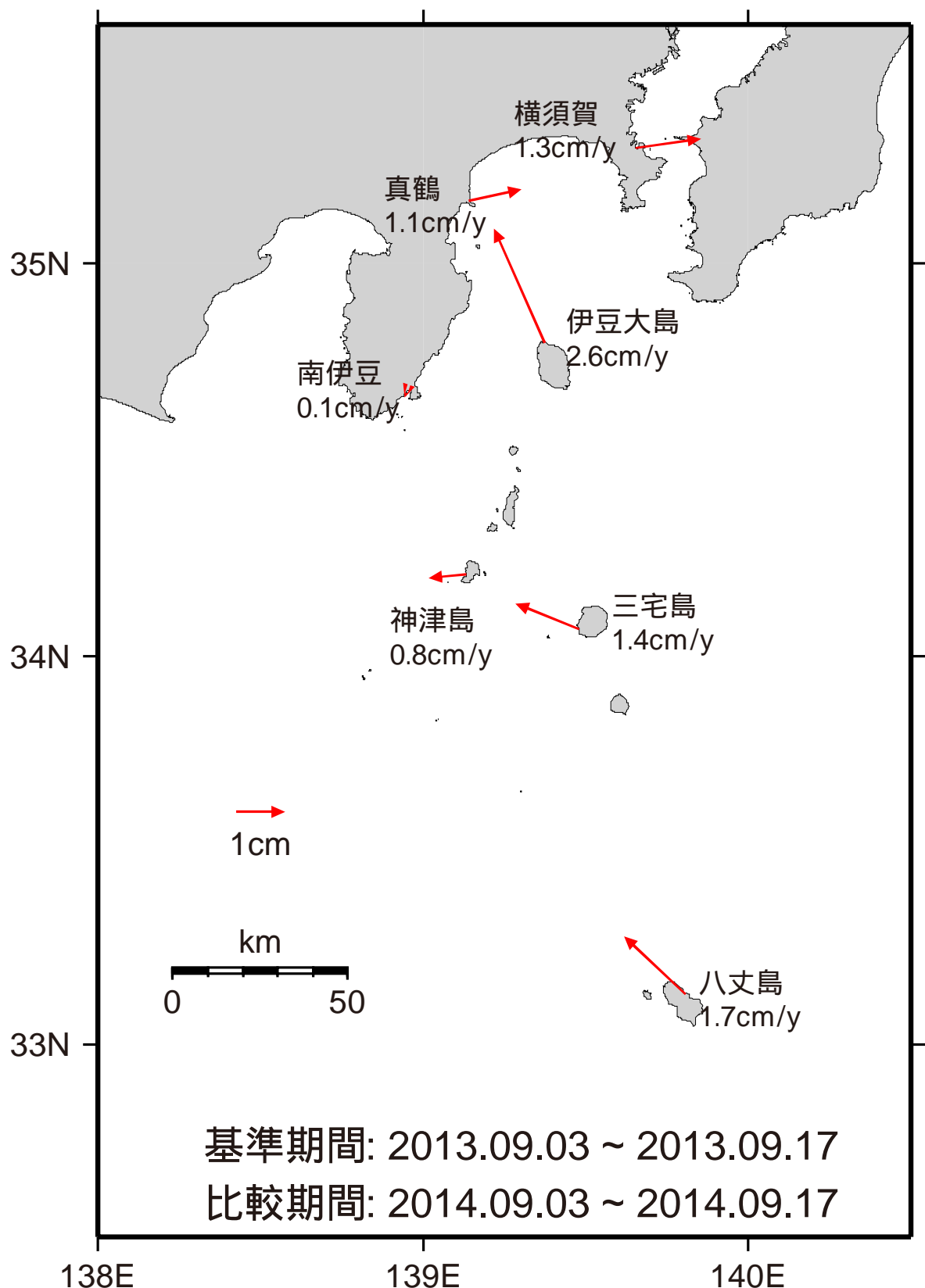
基線変化グラフ



: Bernese [IGS最終版] (2011年10月1日 ~ 2014年9月30日)

第7図 南伊豆基点での真鶴および神津島のGPS連続観測結果 (2011/10/1 ~ 2014/9/30)

Fig.7 Results of continuous GPS measurements for the baselines of Minami Izu – Manazuru and Minami Izu – Kozu Shima from October 1, 2011 to September 30, 2014.



第8図 伊豆諸島海域のGPS測点の移動速度

(基準点: 下里水路観測所)

Fig.8 Velocities of the GPS Stations in the Izu Islands

(Shimosato Hydrographic Observatory fixed)